

(14) 折線分布モデルによる高炉の動的挙動の解析

70014

名古屋大学大学院

○堀尾正樹

名古屋大学工学部

鶴巣

1. 緒言 高炉の動特性について、筆者らは、溶融帶・羽口間の動特性が近似的に一次遅れ要素となることを報告¹⁾し、前回²⁾摂動法による解析的表現を提出した。しかし、既報³⁾の偏微分方程式で表現される層頂・溶融帶間にについては、上記のような集中定数近似は困難であり、プロセス変数の軸方向分布の考慮が必要であると推察される。このとき、偏微分方程式の厳密な数值計算は、計算時間が多大であるために、必ずしも実際の動特性解析には有効ではない。そこで、本報では、図1のように層頂・羽口間を最小限分割して、軸方向温度分布を折線近似し、等高線法³⁾を適用して動的挙動の解析を行なう。

2. 折線分布モデル [仮定] (i) 各Zoneの境界での固体温度は羽口レベルを除き一定とする。また、境界の位置は上下に可動的であるとする。(ii) 酸化鉄の還元反応はZone II, IIIで完了する。(iii) Zone I, II, IIIでの固気間温度差の平均値を(1)式で表わす。(iv) Zone IVではプロセス変数は軸方向に一定とする。(v) Zone Vでの平均温度を(2)式で表わす。(vi) ガスと融体は準定常的に扱う。 $(\bar{T} - t)_i = V_{1i} T_{1i} + V_{2i} T_{2i} - V_{1i+1} T_{1i+1} - V_{2i+1} T_{2i+1}$ …(1), $\bar{T}_v = M_1 T_1 + M_2 T_v$, $\bar{t}_v = M_1 t_1 + M_2 t_{me}$, $\bar{t}_m = M_1 t_{me} + M_2 t_{me}$ …(2), ただし $V_{1i} + V_{2i} = 1$, $M_1 + M_2 = 1$

[基礎式] 物質収支から(3)～(7)式が得られる。 $V_0 = V_I = V_{II} = V_{III} = V_1 + C_{sol}$, $V_{IV} = V_{V} = V_1$ …(3), $C_{sol} = V_1 (x_0 + y_0 - x_i) / (1 - x_{de})$ …(4), $O_{red} = V_1 \{x_0 - x_1 + y_0 (2 - X)\} / (1 - x_{de})$ …(5), $F_A = (V_1 + V_m X_{cm}) / P_{bIII} + V_m (1 - X_{cm}) / P_{bIV}$ …(6), $P_{bIV} = P_{bIII} - C_{sol} / F_A$ …(7)。

熱収支からZone I～IIIで(8),(9)式が得られる。 $(DC_{sp} \bar{t} / D\theta)_i = \partial C_{sp} \bar{t} / \partial \theta + \partial C_{sp} \bar{t} / \partial S = h_p a_i (\bar{T} - t)_i + O_i (-\Delta H_f) / A_i$ …(8), $C_g \dot{V}_i + V_{1i} T_{1i} - C_g V_i T_i = h_p a_i A_i (\bar{T} - t)_i + \delta_{wi} A_i$ …(9)。Zone IVについては: $C_g \sqrt{V_{IV} T_{IV}} - C_g \sqrt{V_{IV} T_{IV}}$

= $\{h_p a_{IV} (T_{IV} - t_{me}) + \delta_{wIV}\} A_{IV}$ …(10), $V_m = h_p a_{IV} A_{IV} (T_{IV} - t_{me}) / L_{mel} (1 - X_{cm})$ …(11)。

Zone Vでは, $M_1 dt_1 / d\theta = \{(t_{me} - t_1) C_{sp} V_1 / A_{IV} + O_{ags} (\bar{T} - t)_i - O_{asm} (\bar{T} - t_m)\} / P_{bV} C_{sp}$ …(12), $(t_{me} - t_{me}) C_{sp} V_m = \{O_{ags} (\bar{T} - t_m) + O_{asm} (\bar{T} - t_m)\} A_{IV}$ …(13), $(C_g V_i - C_g V_{IV}) V_i = \{O_{ags} (\bar{T} - t)_i + O_{ags} (\bar{T} - t_m) + \delta_{wIV}\} A_{IV}$ …(14)。

[等高線の式] 各Zoneの境界 S_i の変化は;

$$dS_i / d\theta = F_A - (DC_{sp} \bar{t} / D\theta)_{i-1} / (\partial C_{sp} \bar{t} / \partial S)_{i-1} \dots (i=II \sim IV) \dots (15),$$

$$dS_{IV} / d\theta = (V_i - V_0) / P_{bIV} \dots (16), t_1 = t_{me} \text{ とし}, (\partial C_{sp} \bar{t} / \partial S)_i$$

$$= (C_{sp} V_{i+1} P_{b,i+1} t_{i+1} - C_{sp} V_{i+1} t_i) / A_i, V_0 = V_m \{ (1 - X_{cm}) \} / (1 - x_i)$$

[計算方法] 非定常計算の手順を図2に示す。

($\bar{T} - t$)_iの与え方は結果に大きな影響を持っている。

算術平均の場合には $V_{ij}=0.5$, 各Zoneを完全混合槽とみなすときは, $V_{1i}=V_{2i}=0$, $V_{12}=V_{21}=1$, また, ピストン流として扱うときは, $V_{1i,c}=V_{2i,c} \div C_g V_i$ / $h_p a_i A_i$ となる。

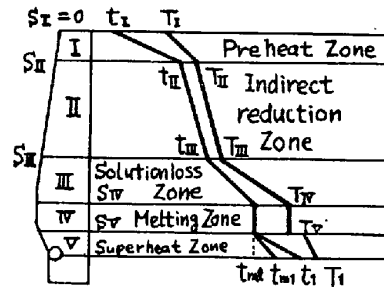


図1. 温度分布の折線近似.

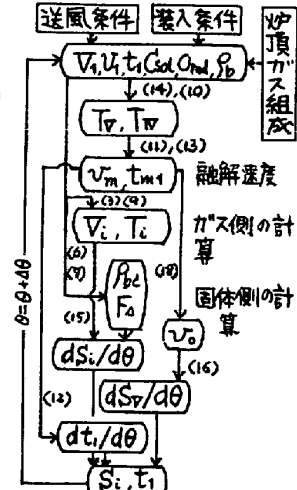


図2. 計算手順.

[記号] C_{sol} : リューション・ロス速度 [$\text{kgmol}(\text{C})/\text{hr}$], F_A : 固体の容積流量 [$\text{m}^3(\text{bed})/\text{hr}$], $h_p a$: 伝熱容量係数 [$\text{kcal}/\text{m}^2 \cdot \text{hr} \cdot ^\circ\text{C}$], ΔH_f : Zone iでの反応熱 [$\text{kcal}/\text{kgatom}(\text{C})$], L_{mel} : 融解熱 [kcal/kgmol], O_{red} : 全還元反応速度 [$\text{kgatom}(\text{C})/\text{hr}$], O_i : Zone iでの還元反応速度 [$\text{kgatom}(\text{C})/\text{hr}$], δ_w : 炉壁からの熱損失 [$\text{kcal}/\text{m}^2 \cdot \text{hr}$], S_i : 層頂からZone iの上端までの容積 [m^3], A_i : Zone iの容積 [m^2], T, t, t_i : ガス, 固体, 融体の温度 [$^\circ\text{C}$], t_m : 融解温度 [$^\circ\text{C}$], O_{ags}, O_{asm} : 気・固, 気・液, 固・液間熱伝導係数 [$\text{kcal}/\text{m}^2 \cdot \text{hr} \cdot ^\circ\text{C}$], V, V_i, V_m : ガス, 固体, 融体のモル流量 [kgmol/hr], X_{cm} : 融体中のCのモル分率, x : CO モル分率, y : CO₂ モル分率, ϵ : 層空隙率, P_{bC}, P_{bm} : C および可溶物のかさ密度 [$\text{kgmol}/\text{m}^2(\text{bed})$], θ : 時間 [hr].

[添字] 0: 層頂, 1: 羽口レベル, 0: 溶融帶からの出量, 1: 融体又は可溶物, s: 固体, *: 単味の場合
1) 堀尾・鶴巣: 鉄と鋼56('70), 10(投稿中), 2) 堀尾・鶴巣: 同56('70), 4,543, 3) 堀尾・鶴巣: 同55('69), 11, 5427